

# ДВУМЕРНЫЕ РЕЖИМЫ ФИЛЬТРАЦИОННОГО ГОРЕНИЯ

В. В. Грачев, Т. П. Ивлева

Институт структурной макрокинетики и проблем материаловедения РАН, 142432 Черноголовка

Выполнен теоретический анализ возможных режимов фильтрационного горения и исследованы закономерности перехода между режимами при изменении параметров системы. Построено разбиение плоскости параметров «начальное давление — коэффициент фильтрации» на области существования различных режимов. Показано, что при сверхстехиометрических начальных давлениях, когда в порах достаточно газа для полного превращения твердого реагента, существует область параметров, в которой горение происходит в поверхностном режиме. При еще более высоких начальных давлениях обнаружен новый режим горения — бимодальный, который сочетает в себе черты послойного и поверхностного режимов.

## ВВЕДЕНИЕ

Системы газ — твердое относятся к большому классу систем, в которых наблюдается процесс самораспространяющегося высокотемпературного синтеза. В механизме горения таких систем важную роль играет фильтрация газообразного реагента через пористое вещество к фронту реакции. Такой тип горения назван фильтрационным [1].

Уже в первых экспериментах [2, 3] по горению в атмосфере газообразного азота образцов, прессованных из порошков металлов, были обнаружены два качественно различных режима горения: послойный и поверхностный. В послойном режиме фронт горения плоский и охватывает всё сечение образца подобно тому, как это происходит при горении систем с твердофазными реагентами. В поверхностном режиме фронт горения сильно искривлен, распространение ведущей части фронта реакции с полным превращением твердого реагента локализовано в поверхностных областях образца, в то время как в центральной его части полнота превращения либо вовсе не достигается, либо достигается на значительном удалении от лидирующей части фронта.

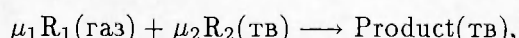
Послойные режимы горения можно описывать в рамках одномерных моделей, и теория одномерных режимов достаточно полно разработана [4]. Описание поверхностных режимов горения — более сложная проблема, поскольку эта задача является принципиально двумерной. Из немногих известных публикаций, в которых рассматривались двумерные модели, именно поверхностному режиму посвящена работа [5]. Закономерности перехода от послойного к поверхностному режиму горения при

изменении параметров системы в литературе не рассматривались. Этот вопрос был выделен А. Г. Мержановым в числе нерешенных задач, представляющих значительный интерес [6]. Данная проблема является предметом предлагаемой статьи.

Основная цель работы — определение границ областей существования различных режимов горения в пространстве контролирующих параметров системы. Будем рассматривать только режимы естественной фильтрации газа, когда перепад давления, управляющий фильтрацией газа, возникает самопроизвольно за счет физико-химических процессов в образце. Основная масса газа подводится к фронту реакции через боковую поверхность образца, поэтому поле течения газа существенно двумерно.

## ПОСТАНОВКА ЗАДАЧИ

Рассматривается слой шихты (смесь порошков твердого реагента и разбавителя), находящийся в атмосфере газообразного реагента. Шихта зажигается на левом торце образца ( $x = 0$ ) кратковременным тепловым импульсом, который инициирует распространение волн горения вдоль оси  $Ox$  за счет тепла, выделяющегося при экзотермической реакции газ — твердый реагент с образованием твердо-го продукта:



где  $\mu_1$  и  $\mu_2$  — стехиометрические коэффициенты.

Для описания процессов тепло- и массопереноса в образце при фильтрационном горении используется традиционная система урав-

нений [4], отражающая законы сохранения массы твердого и газообразного реагентов, энергии (рассматривается однотемпературная модель, т. е. предполагается тепловая гомогенность системы «газ — твердое тело»), уравнение состояния идеального газа и закон Дарси. В безразмерных переменных двумерная система уравнений принимает вид:

$$\frac{\partial[(1+C\rho+\mu C\eta+C_d)\theta]}{\partial\tau}=\frac{\partial^2\theta}{\partial x^2}+\frac{\partial^2\theta}{\partial y^2}-\frac{\partial(C\rho v_x\theta)}{\partial x}-\frac{\partial(C\rho v_y\theta)}{\partial y}+\frac{C_\mu}{\gamma}\frac{\partial\eta}{\partial\tau}, \quad (1)$$

$$\frac{\partial\rho}{\partial\tau}+\frac{\partial(\rho v_x)}{\partial x}+\frac{\partial(\rho v_y)}{\partial y}=-\mu\frac{\partial\eta}{\partial\tau}, \quad (2)$$

$$\frac{\partial\eta}{\partial\tau}=\gamma f(\eta)g(P)\exp\frac{\theta}{1+\beta\theta}, \quad (3)$$

$$v_x=-K_f\frac{\partial P}{\partial x}, \quad v_y=-K_f\frac{\partial P}{\partial y}, \quad (4)$$

$$P=\frac{\rho(1+\beta\theta)}{\mu(1+\beta\theta_0)}, \quad (5)$$

где

$$C=\frac{c_g}{c_s}, \quad \mu=\frac{\mu_1 M_g}{\mu_2 M_s}, \quad \rho=\frac{\rho_g}{\rho_{s,0}},$$

$$C_d=\frac{(1+\mu C)\rho_d}{(1+\mu)\rho_{s,0}}, \quad \gamma=1-\frac{\rho_s}{\rho_{s,0}}, \quad \theta=\frac{E(T-T_b)}{RT_b^2},$$

$$T_b=T_0+\frac{Q}{c_s C_\mu}, \quad C_u=1+\mu C+C_d, \quad P=\frac{p}{p_*},$$

$$\tau=\frac{t}{t_*}, \quad t_*=\frac{\gamma}{k_0}\exp\frac{E}{RT_b}, \quad \gamma=\frac{RT_b^2}{E(T_b-T_0)},$$

$$\beta=\frac{RT_b}{E}, \quad a=\frac{\lambda}{c_s\rho_{s,0}}, \quad K_f=\frac{k_f p_*}{a},$$

$$p_*=\frac{\mu}{M_g}\rho_{s,0}R_1T_0, \quad x=\frac{X}{x_*}, \quad y=\frac{Y}{x_*}, \quad x_*^2=at_*,$$

Здесь  $\rho_g, \rho_s, \rho_d$  — массы газа, твердого реагента и разбавителя в единице объема шихты;  $\eta$  — глубина превращения;  $c_g, c_s$  — теплоемкости газа и твердого реагента;  $M_g, M_s$  — молекулярные массы соответствующих реагентов;  $T$  — текущая температура;  $T_b$  — температура горения;  $t$  — время;  $a$  — температуропроводность;  $k_0$  — предэкспоненциальный множитель;  $E$  — энергия активации;  $R_1$  — универсальная газовая постоянная  $R$ , деленная на пористость;  $Q$  — теплота реакции;  $p$  — давление;  $k_f$  — коэффициент фильтрации;  $v_x, v_y$  — компоненты безразмерной скорости фильтрации газа вдоль

осей  $Ox, Oy$ ;  $\lambda$  — эффективная теплопроводность. Индексом нуль обозначены начальные значения соответствующих величин, а звездочной — масштабные величины. В качестве масштаба давления  $p_*$  выбрано значение, соответствующее стехиометрическому содержанию газообразного реагента в порах образца, т. е. при значении безразмерного начального давления  $P_0 = 1$  в порах образца содержится необходимое количество газа для полного превращения твердого реагента. В качестве масштаба температуры  $T_b$  выбрана адиабатическая температура горения стехиометрической смеси. При определяющей экспоненциальной зависимости скорости реакции от температуры вид функций  $f(\eta), g(P)$ , учитывающих зависимость скорости реакции соответственно от глубины превращения и давления, не имеет принципиального значения. Для определенности в дальнейшем будем предполагать, что имеет место реакция первого порядка по глубине превращения и нулевого порядка по давлению:

$$f(\eta)=1-\eta, \quad (6)$$

$$g(P)=\begin{cases} 1 & \text{при } P>0, \\ 0 & \text{при } P=0. \end{cases} \quad (7)$$

Распределения температуры, плотности и глубины превращения предполагаются симметричными относительно плоскости  $y=0$  и являются функциями только пространственных координат  $x$  и  $y$ . Газообмен образца с окружающей средой происходит через боковую поверхность  $y=\pm h$  (поперечный размер образца —  $2h$ ). Температура и давление газа окружающей среды предполагаются постоянными в процессе горения и равными соответственно  $\theta_0, P_0$ . Поскольку нас в первую очередь интересуют установившиеся режимы распространения волны горения, длина образца  $l$  предполагается достаточно большой, много больше характерных масштабов фронта горения и зоны фильтрации ( $l \gg h$ ).

С учетом сделанных допущений граничные условия для уравнений (1), (2) и (4), отражающие условия инициирования горения и тепло- и массообмен образца с окружающим газом, можно записать следующим образом:

$$\begin{aligned} x=0: \quad & \theta=\theta_{ign} \quad (0 < \tau \leq \tau_{ign}), \\ & \frac{\partial\theta}{\partial x}=0 \quad (\tau > \tau_{ign}), \quad \frac{\partial P}{\partial x}=0, \\ x=l: \quad & \frac{\partial\theta}{\partial x}=0, \quad \frac{\partial P}{\partial x}=0, \end{aligned} \quad (8)$$

$$y = 0: \quad \frac{\partial \theta}{\partial y} = 0, \quad \frac{\partial P}{\partial y} = 0,$$

$y = h$ :

$$-\frac{\partial \theta}{\partial y} + C\rho v_y(\theta - \theta_0) = 0, \quad v_y < 0, \quad P = P_0,$$

$$\frac{\partial \theta}{\partial y} = 0, \quad v_y \geq 0,$$

где  $\theta_{ign}$  — температура инициирования горения,  $\tau_{ign}$  — время действия теплового импульса. Начальные условия предполагают равномерное распределение температуры и давления в образце:

$$\tau = 0: \quad \theta = \theta_0 \equiv -1/\gamma, \quad P = P_0, \quad \eta = 0. \quad (9)$$

Уравнения (1)–(9) представляют собой замкнутую систему, позволяющую рассчитать двумерные профили температуры, давления, глубины превращения и проанализировать зависимость режимов горения от параметров. Помимо хорошо известных в теории горения безразмерных параметров  $\beta$  и  $\gamma$  важными параметрами, определяющими режим горения, являются коэффициент фильтрации  $K_f$ , начальное давление  $P_0$ , поперечный размер образца  $2h$  и скорость горения  $\omega$ , определяемая в процессе решения задачи. В дальнейшем анализе будем использовать адиабатическую скорость послойного горения с полным превращением твердого компонента, значение которой определяется выражением [7]

$$\omega = \frac{\gamma}{\sqrt{C_\mu}} \exp \frac{\theta_b}{2},$$

$$\theta_b = \begin{cases} 0, & P_0 \leq 1, \\ \theta_0 + C_\mu/\gamma C_0, & P_0 > 1, \end{cases} \quad (10)$$

$$C_0 = 1 + C\rho_0 + C_d.$$

## ПРИБЛИЖЕННОЕ АНАЛИТИЧЕСКОЕ РЕШЕНИЕ

Критерий  $\Pi$ , определяющий режим распространения фронта горения (послойный или поверхностный), впервые был введен в [2], а его теоретический вывод представлен в [8]. При выводе критерия  $\Pi$  сделаны следующие допущения:

1) зона реакции рассматривается как поверхность, отделяющая область продуктов от области исходных реагентов и движущаяся с постоянной скоростью  $\omega$ ;

2) начальное давление предполагается много меньше «стехиометрического» ( $P_0 \ll 1$ ),

т. е. в порах шихты в начальном состоянии содержится незначительное количество газа, много меньше необходимого для полного превращения твердого реагента;

3) зона прогрева перед фронтом считается узкой по сравнению с зоной фильтрации, что позволяет свести задачу к рассмотрению изотермической ( $\theta = \text{const}$ ) фильтрации газа через исходную смесь навстречу фронту.

При этих предположениях для послойного режима горения минимальное давление, достигаемое во фронте реакции на оси образца, вычисляется по формуле

$$P_{\min} = P(0, 0) = P_0 \sqrt{1 - \Pi},$$

$$\Pi = \frac{16G}{\pi^2} \frac{\omega h}{K_f P_0^2}. \quad (11)$$

Здесь константа  $G$  является суммой ряда [9]:

$$G = \sum_{n=0}^{\infty} \frac{(-1)^n}{(2n+1)^2} \approx 0,916.$$

Поскольку физический смысл имеют значения  $P > 0$ , из (11) следует, что послойный режим горения (предполагаемый изначально) имеет место только при  $\Pi < 1$ . В случае  $\Pi > 1$  возникает поверхностный режим горения. Согласно [8] границу между послойным и поверхностным режимами горения будем определять из условия обращения в нуль давления на оси образца:

$$P(0, 0) = 0. \quad (12)$$

Выясним физический смысл критерия  $\Pi$  и покажем, что качественно его можно получить из следующих простых соображений. Для осуществления послойного режима горения поток окислителя к фронту горения ( $-\rho_0 v_f$ ), обеспечиваемый фильтрацией для данных условий синтеза, должен быть не меньше массовой скорости потребления окислителя во фронте реакции ( $\mu\omega$ ), необходимой для полного превращения твердого реагента:

$$\mu\omega \leq -\rho_0 v_f. \quad (13)$$

На пределе послойного горения, когда во фронте реакции на оси образца давление падает до нуля, согласно закону Дарси (4) скорость фильтрации (по порядку величины) определяется по формуле

$$v_f \sim -K_f P_0/h. \quad (14)$$

Из уравнения состояния (5) следует

$$\rho_0 = \mu P_0. \quad (15)$$

Подставляя (14), (15) в (13), получаем

$$\omega h / K_f P_0 \leq 1. \quad (16)$$

Сравнивая (16) и (11), замечаем, что (16) отличается от (11) только численным множителем порядка единицы ( $N = 16G/\pi^2 \approx 1,485$ ). Таким образом, по физическому смыслу критерий  $\Pi$  представляет собой отношение стехиометрической массовой скорости потребления окислителя во фронте реакции к массовой скорости подвода окислителя, обеспечиваемой фильтрацией для данных условий синтеза.

Используем такой же подход для анализа неизотермической фильтрации при достаточно высоком начальном давлении газа, т. е. откажемся от предположений  $P_0 \ll 1$  и  $\theta = \text{const}$ , сделанных при выводе критерия  $\Pi$ . Повышение температуры газа в зоне прогрева волны горения приводит к уменьшению массового потока газа к фронту реакции. При большой проницаемости образца влияние зоны прогрева на режим горения несущественно. При малой проницаемости прогрев газа приводит к возникновению максимума давления ( $P_{\max} > P_0$ ) перед фронтом горения, что оказывает решающее влияние на течение газа в образце. Одномерные режимы послойного горения при наличии максимума давления рассмотрены в [10]. В одномерном приближении, когда отсутствует газообмен с окружающей средой, в системе координат, связанной с волной горения, поток газа всегда направлен к фронту горения, несмотря на наличие максимума давления. И как следствие этого, при  $P_0 > 1$  всегда реализуется послойный режим горения с полным превращением твердого реагента. В рассматриваемом двумерном приближении ситуация принципиально другая. Рост давления перед фронтом горения выше начального приводит к истечению газа через боковую поверхность образца. Поэтому условие  $P_0 > 1$  не является достаточным для послойного горения. Поток газа  $\mu\omega$ , необходимый для полного превращения твердого реагента во фронте горения, достигается за счет потока оставшейся части газа, изначально содержащегося в порах образца  $\omega\rho_0$ , после отвода другой его части через боковую поверхность образца фильтрационным потоком  $\rho_0v_f$ :

$$\mu\omega \sim \rho_0\omega - \rho_0v_f. \quad (17)$$

При этом скорость фильтрации газа из образца (по порядку величины) определяется по формуле

$$v_f \sim K_f \frac{P_b - P_0}{h}, \quad (18)$$

где  $P_b$  — давление в зоне прогрева на оси образца. В качестве выражения для  $P_b$  можно использовать приближенное решение, приведенное в [10] для оценки максимального давления. Основной член этого решения (с точки зрения значений параметров, представляющих физический интерес) в наших обозначениях имеет вид

$$P_b = \gamma_1 \sqrt{\frac{P_0}{K_f C_\mu \beta(\gamma - \beta)}}. \quad (19)$$

Подставляя (18), (15) в (17), имеем соотношение, определяющее границу, разделяющую области существования послойного и поверхностного режимов горения:

$$\frac{\omega h(1 - P_0)}{K_f P_0(P_0 - P_b)} \approx 1. \quad (20)$$

При  $K_f \gg 1$  и  $P_0 \ll 1$  левая часть соотношения (20) с точностью до численного множителя  $N$  совпадает с выражением (11) для  $\Pi$ . Для сопоставления с численными расчетами учтем численный множитель  $N$ , а значение  $\omega$  получим согласно (10). Окончательно общее выражение для критерия, определяющего режим горения (поверхностный или послойный), запишем в следующем виде:

$$SL = \frac{16G}{\pi^2} \frac{\omega h(1 - P_0)}{K_f P_0(P_0 - P_b)}. \quad (21)$$

(Название критерия  $SL$  образовано из первых букв английского названия режимов горения surface or layer-by-layer mode). Поверхностный режим реализуется при  $SL > 1$ , послойный режим — при  $SL < 1$ . Из вывода критерия  $SL$  следует, что область применения ранее известного критерия  $\Pi$  ограничена неравенствами  $P_0 \ll 1$ ,  $K_f \gg 1$ , в то время как критерий  $SL$  можно использовать при произвольных значениях начального давления и коэффициента фильтрации.

## ЧИСЛЕННОЕ РЕШЕНИЕ

Определение границ областей существования различных режимов горения в пространстве контролирующих параметров системы обусловило необходимость усовершенствования расчетного алгоритма по сравнению с использованным ранее в [5]. Дифференциальные уравнения аппроксимировали сеточными функциями с помощью конечных разностей и решали методом перекрестной прогонки. В качестве пространственной сетки брали описанную в [11] неравномерную, адаптирующуюся к



Рис. 1. Области существования послойного и поверхностного режимов горения:  
штриховые линии — численный расчет из условия (12), сплошные — аналитическое решение ( $SL = 1$ )

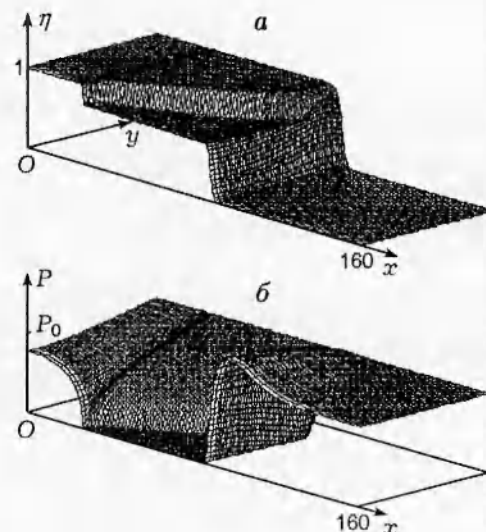


Рис. 2. Профили глубины превращения (а) и давления (б) для поверхностного режима горения при сверхстехиометрическом давлении ( $K_f = 0,69$ ,  $P_0 = 1,02$ ,  $h = 20$ )

характеру решения двумерную сетку с переменным числом узлов. Удобная при аналитическом решении зависимость с нулевым порядком скорости реакции от давления (7) вызывает определенные трудности при численном анализе. Чтобы обеспечить балансность и согласование источников во всех уравнениях, и в то же время вычислить глубину превращения по неявной схеме, использовали выражение

$$\bar{\eta} - \eta = \frac{F(1 - \eta)}{1 + F}, \quad F = \Delta\tau\gamma \exp \frac{\theta}{1 + \beta\theta},$$

которое следует из (3) и (6). Здесь  $\bar{\eta}$  — глубина превращения на верхнем расчетном слое,  $\Delta\tau$  — шаг по времени. При прямой прогонке находим три прогоночных коэффициента, два из которых традиционны для уравнения неразрывности без источника, а третий включал в себя источник. При обратной прогонке величина третьего прогоночного коэффициента ограничивалась условием  $P > 0$ , которое позволяло «подрезать» соответствующим образом функцию тепловыделения. Программа удовлетворяла условиям балансности и обеспечивала учет изменения массы газа в образце (связанного и свободного). Тестирование численных «экспериментов» показало, что для получения физически достоверного решения недостаточно сгущения узлов только в области фронта. Поэтому в критерий, определяющий условия введения или выбрасывания узлов сетки, добавлено требование учета градиента давления.

Основные численные расчеты проведены для следующих значений безразмерных параметров:  $\beta = 0,14$ ;  $\gamma = 0,168$ ;  $C = C_d = 1$ ;  $\mu = 0,67$ .

## ОБСУЖДЕНИЕ РЕЗУЛЬТАТОВ

На рис. 1 представлено разбиение плоскости ( $K_f$ ,  $P_0$ ) на области существования послойного и поверхностного режимов горения. Видно удовлетворительное согласие между результатами численных расчетов и приближенного аналитического решения. В области параметров, лежащей справа от кривой, реализуется послойный режим горения, слева от кривой — поверхностный. Напомним, что значение  $P_0 = 1$  соответствует «стехиометрическому начальному давлению». Тем не менее существует область сверхстехиометрических давлений, в которой горение происходит в поверхностном режиме, т. е. с неполным превращением реагента во фронте горения в центре образца (рис. 2,а). Это несколько неожиданный результат, поскольку широко распространено мнение, что достижение начального стехиометрического давления однозначно обеспечивает послойный режим горения. Это мнение основано на результатах одномерного анализа, выполненного в [10], где показано, что при сверхстехиометрических давлениях всегда имеет место полное превращение во фронте горения. Другими словами, существование такой области — чисто двумерный эффект. Дело в том, что в этой области параметров перед фронтом горения возникает пик давления (рис. 2,б). Рост давления выше начального приводит к исте-

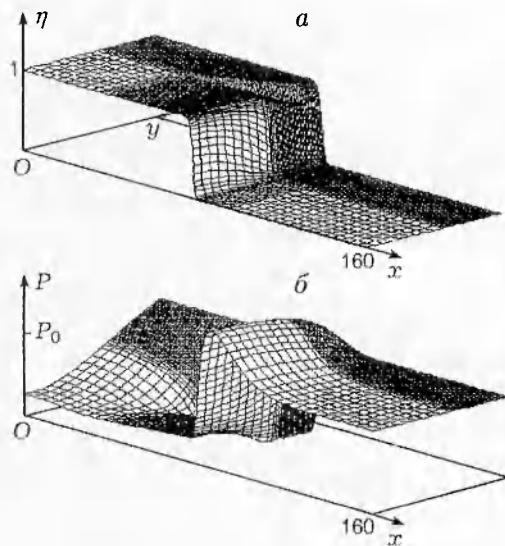


Рис. 3. Профили глубины превращения (а) и давления (б) для бимодального режима горения ( $K_f = 0,69$ ,  $P_0 = 1,16$ ,  $h = 40$ )

чению газа через боковую поверхность образца. Максимум давления расположен в зоне прогрева и практически полностью блокирует возможность подвода газа извне к фронту реакции в центральной части образца. В результате содержание газа здесь падает ниже стехиометрического и имеет место неполнота превращения реагента, т. е. горение происходит в поверхностном режиме.

В области сверхстехиометрических давлений обнаружен неизвестный ранее режим горения, который мы назвали бимодальным, поскольку он сочетает в себе черты послойного и поверхностного режимов: центральная часть образца горит в послойном режиме, а внешние слои — в поверхностном. Другими словами, неполное превращение во фронте горения наблюдается не в центре образца, как при поверхностном режиме, а в некотором интервале промежуточных значений поперечной координаты (рис. 3, а). Наличие максимума давления (рис. 3, б) здесь также приводит к истечению газа из образца. Но при этом во внешних слоях содержание газа в порах падает ниже стехиометрического, а давление — до нуля, в то время как в центральной области остается достаточно большое количество газа для полного превращения твердого реагента и давление больше нуля, поскольку путь фильтрации газа из центральной области длиннее. Границу области сущест-

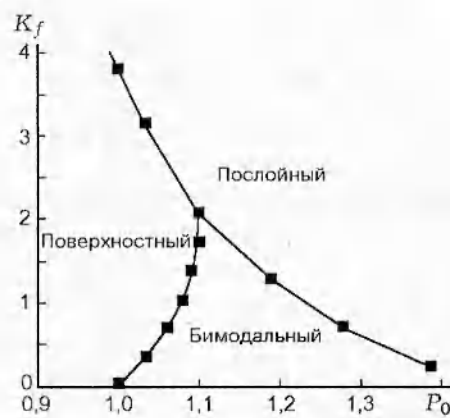


Рис. 4. Область существования бимодального режима горения ( $h = 40$ )

ствования бимодального режима (рис. 4) определяли численно из условия обращения в нуль давления при каком-либо значении поперечной координаты, при этом исключали ось образца ( $y = 0$ ), где давление должно быть больше нуля. Область бимодальных режимов слева примыкает к области поверхностных режимов и занимает как бы часть области послойных режимов (по сравнению с рис. 1). Существует диапазон значений коэффициентов фильтрации (или начальных давлений), при которых могут быть реализованы все три режима горения. Например, для  $K_f = 1$  при увеличении начального давления наблюдается последовательная смена режимов: поверхностный — бимодальный — послойный.

Оценим область значений физических параметров, в которой могут наблюдаться бимодальные режимы горения. Стехиометрическое содержание газа в порах образца достигается при давлениях порядка сотен и тысяч атмосфер. Как видно из рис. 4, бимодальные режимы реализуются при сверхстехиометрических давлениях ( $P_0 > 1$ ). При этом значение коэффициента проницаемости образца  $k_p$  должно быть достаточно малым, чтобы обеспечить  $K_f \approx 1$ . Экспериментально измеренные значения  $k_p$  для различных СВС-систем лежат в достаточно широком интервале — от  $10^{-14}$  [3] до  $10^{-16} \div 10^{-19} \text{ м}^2$  [12]. Используя характерные значения стехиометрического давления  $p_* \approx 10^8 \text{ Па}$ , а также значения температуропроводности  $a \approx 10^{-5} \text{ м}^2/\text{с}$  и вязкости газа  $\nu \approx 10^{-5} \text{ кг}/(\text{м} \cdot \text{с})$ , находим, что интервалу  $k_p \approx 10^{-14} \div 10^{-19} \text{ м}^2$  соответствует диапа-

зон  $K_f \approx 10^{-1} \div 10^4$ . Эти оценки показывают принципиальную возможность реализации бимодальных режимов, а также поверхностных режимов горения при сверхстехиометрических давлениях. По-видимому, эти эффекты могут представлять интерес для практики получения плотных материалов с малой пористостью (или беспористых) в газостатах высокого давления.

## ВЫВОДЫ

В работе проведен теоретический анализ возможных двумерных режимов фильтрационного горения.

Приближенными аналитическими методами получен новый критерий  $SL$ , определяющий режим горения (послойный или поверхностный), который применим в более широкой области параметров, чем ранее известный критерий  $\Pi$ . Результаты приближенного аналитического и численного решений удовлетворительно согласуются.

Показано, что при сверхстехиометрических начальных давлениях, т. е. когда в порах образца достаточно газа для полного превращения твердого реагента, существует область параметров, в которой горение происходит в поверхностном режиме.

При численном анализе исходной системы уравнений обнаружен ранее неизвестный режим горения — бимодальный, сочетающий черты послойного и поверхностного режимов.

Построено разбиение плоскости параметров (начальное давление — коэффициент фильтрации) на области существования различных режимов.

Авторы благодарят А. Г. Мержанова за привлечение их внимания к данной проблеме и полезные дискуссии, а также выражают признательность И. П. Боровинской за интерес к работе.

Работа выполнена при поддержке Российского фонда фундаментальных исследований (код проекта 96-03-32574).

## ЛИТЕРАТУРА

- Алдушин А. П., Мержанов А. Г., Хайкин Б. И. Режимы послойного фильтрацион-

- ного горения пористых металлов // Докл. АН СССР. 1974. Т. 215, № 3. С. 612–615.
- Мержанов А. Г., Боровинская И. П., Володин Ю. Е. О механизме горения пористых металлических образцов в азоте // Докл. АН СССР. 1972. Т. 206, № 4. С. 905–908.
  - Боровинская И. П. Самораспространяющийся высокотемпературный синтез нитридов: Дис. ... канд. хим. наук. Черноголовка, 1972.
  - Алдушин А. П. Фильтрационное горение металлов // Распространение тепловых волн в гетерогенных средах / Под ред. Ю. Ш. Матроса. Новосибирск: Наука, 1988. С. 52–71.
  - Ивлева Т. П., Мержанов А. Г., Шкадинский К. Г. Поверхностное горение пористых конденсированных веществ с конденсированными продуктами // Химическая физика процессов горения. Горение конденсированных и гетерогенных систем: Материалы VI Всесоюз. симпоз. по горению и взрыву. Черноголовка, 1980. С. 99–103.
  - Merzhanov A. G. Ten research direction in the future of SHS // Intern. J. SHS. 1995. V. 4, N 4. P. 323–350.
  - Грачев В. В., Ивлева Т. П. Фильтрационное горение в замкнутом объеме реактора // Физика горения и взрыва. 1997. Т. 33, № 5. С. 34–43.
  - Алдушин А. П. Теоретическое исследование горения гетерогенных систем с твердофазными продуктами реакции: Дис. ... канд. физ.-мат. наук. Черноголовка, 1974.
  - Прудников А. П., Брычков Ю. А., Маричев О. И. Интегралы и ряды. М.: Наука, 1981.
  - Алдушин А. П., Мержанов А. Г., Сеплярский Б. С. К теории фильтрационного горения металлов // Физика горения и взрыва. 1976. Т. 12, № 3. С. 323–332.
  - Ивлева Т. П., Шкадинский К. Г. Алгоритм построения подвижной, неравномерной, адаптирующейся к решению расчетной сетки // Информ. бюл. Госфонда алгоритмов и программ СССР. 1979. № 1(27). С. 18–19.
  - Мукасьян А. С. Закономерности и механизм горения кремния и бора в газообразном азоте: Дис. ... канд. физ.-мат. наук. Черноголовка, 1985.

Поступила в редакцию 29/I 1998 г.